

اندازه‌گیری طیف انرژی نوترون‌های سریع در واکنش D+Be

فریدون عباسی‌دوانی^۱، غلامرضا اطاعتی^۲، حسین آفریده^۳، رحیم کوهی‌فایق^۴ و غلامرضا اصلانی^۵

- ۱- دانشگاه صنعتی امیرکبیر
- ۲- انسستیتو فیزیک کاربردی دانشگاه علم و صنعت
- ۳- سازمان انرژی اتمی
- ۴- دانشگاه فردوسی مشهد
- ۵- مرکز تحقیقات کشاورزی و پزشکی هسته‌ای کرج

(دریافت نسخه نهایی: ۲۱/۱۱/۸۰) (دریافت مقاله: ۸/۲/۸۰)

چکیده

در این مقاله اندازه‌گیری طیف انرژی نوترون، حاصل از بر هم کنش دوترون‌های شتاب داده شده به وسیله سیکلوترون با هدف بریلیومی، گزارش شده است. انرژی دوترون‌ها ۷، ۱۰، ۱۳، ۱۵ و میلیون الکترون ولت انتخاب شده و طیف انرژی نوترون در زاویه‌های ۱۰°، ۳۰° و ۵۰° درجه نسبت به راستای باریکه دوترون، اندازه‌گیری شده است. آشکارساز مورد استفاده از نوع سوسوزن مایع NE-213 استوانه‌ای شکل و با قطر و ارتفاع ۷۶ میلیمتر می‌باشد. در این آزمایش طیف‌های نوترون و گاما با تکنیک تبعیض شکل تپ (P.S.D) و روش زمان گذر از صفر از هم جدا شده اند. از کدھای O5S و RESPMG به ترتیب برای تولیدتابع پاسخ و ماتریس پاسخ آشکارساز در انرژی‌های مختلف استفاده شده و در نهایت با کد FORIST عمل بازیافت طیف نوترون از پروتون پس زده انجام گرفته است.

واژه‌های کلیدی: پرتابه دوترون، بریلیوم، طیف انرژی نوترون، کد FORIST

۱. مقدمه

واکنشی به جز واکنش $B^{(Be(d,n))}$ منفی است و واکنشها دارای انرژی آستانه هستند. بنابراین در انرژی‌های $E_d < 2\text{ MeV}$ با واکنش $B^{(Be(d,n))}$ می‌توان چشمی تک انرژی نوترون سریع تولید کرد. علاوه بر تولید نوترون دراین برهم کش، گامای زیادی نیز تولید می‌شود و چون سوسوزن مورد استفاده هم به نوترون و هم به گاما حساس است، باید آنها را از هم تفکیک کرد. شکل تپ نوترون و گاما درسوسوزن مورد استفاده متفاوت است. تپهای حاصل از گاما سریعتر صفر می‌شوند. بنابراین با بهره گیری از روش تبعیض شکل تپ (P.S.D) تپ نوترون‌ها از تپ گاماهای قابل جداسازی است[۳].

از جمله روش‌های تولید نوترون سریع، بر هم کنش دوترون‌های پر انرژی با هدفهای سبک مانند بریلیوم است. این نوترون‌ها طیف گسترده‌ای دارند و از آنها در نوترون درمانی و رادیو بیولوژی بسیار استفاده می‌شود [۲ و ۱]. نکته قابل توجه در بر هم کنش ۲ MeV از این روش می‌گردد که نوترونهایی با انرژی متفاوت تولید می‌کند. در نتیجه گستردگی زیادی در طیف انرژی نوترون‌های این بر هم کنش ایجاد می‌شود. طبق کانالهای واکنشی معرفی شده در جدول ۱ [۱] مشاهده می‌شود که برای تمام کانالهای

کم انجام شد نیازی به استفاده از دستگاه خنک کننده پیش نیامد.

برای اندازه گیری طیف انرژی نوترون و جداسازی تپهای نوترون و گاما از یک سلول استوانه ای آشکار ساز سوسوزن مایع NE-213 با قطر و ارتفاع ۷۶ میلیمتر استفاده شده است. این سلول با واسطه یک نوربر به شکل مخروط ناقص به تکثیر کننده نوری ۲ اینچ مدل ۸۵۷۵ RCA همراه با حفاظت مغناطیسی مربوطه متصل می گردد. بازده آشکارساز به روش مونت کارلو برای انرژیهای ۱ MeV تا ۲۰ MeV با آستانه صفر، ۳۰ keV تا ۱ MeV به دست آمده و در شکل ۱ نشان داده شده است. طراحی و ساخت سلول، نوربر، مقسم های ولتاژ و برپایی کلی آشکارساز توسط نویسندهان مقاله انجام شده است. از یک شمارنده بزرگ BF_۳ به عنوان مرجع شمارش نوترون ها استفاده شده است. گُد O5S برای تولید توابع پاسخ آشکارساز و گُد RESPMG برای تشکیل ماتریس پاسخ از توابع پاسخ، به کار رفته و در نهایت با گُد FORIST عمل بازیافت طیف نوترون از پروتون پس زده انجام گرفته است.

۱.۳. روش جداسازی طیف نوترون از گاما
برای جداسازی طیف نوترون از گاما روش تعکیک شکل تپ به وسیله مدار زمان گذر از صفر استفاده شده است [۱۰ و ۱۱]. در شکل ۲ نمودار بلوکی ادوات الکترونیکی تشکیل دهنده آزمایش ترسیم شده است. علت استفاده از این روش کیفیت جداسازی بهتر در انرژیهای کم نسبت به مدار کسر ثابت می باشد [۱۲]. لازم به ذکر است از جمله روشهای مناسب دیگری که استفاده می شود روش زمان-پرواز می باشد [۱۱ و ۱۰] که به دلیل پنهانی زیاد عرض تپها در سیکلولوترون کرج، و ایجاد خطای زیاد در زمان گیری این روش استفاده نشده است.

۲.۳. هندسه آزمایش
فاصله آشکارساز از هدف در تمام آزمایشها ۳ متر انتخاب شده است. سطح جانبی آشکارساز در معرض تابش نوترون قرار گرفته و اندازه گیریها برای هر انرژی در زاویه های ۱۰، ۳۰ و ۵۰ درجه نسبت به امتداد مسیر باریکه دوترون انجام شده است.

۳. روش حذف تابش زمینه
منابع تولید نوترون های زمینه عبارتند از:

جدول ۱. مقدار Q برای کانالهای مختلف واکنشی $[{}^A\text{Be} + {}^B\text{D} \rightarrow {}^C\text{Be}]$

واکنش	Q(MeV)
${}^9\text{Be}(\text{d}, \text{n}) {}^8\text{B}$	+ ۴/۴
${}^9\text{Be}(\text{d}, \gamma\text{n}) {}^8\text{B}$	- ۴/۱
${}^9\text{Be}(\text{d}, \text{pn}) {}^8\text{Be}$	- ۲/۲
${}^9\text{Be}(\text{d}, \text{p}\gamma\text{n}) {}^8\text{He}$	- ۳/۸
${}^9\text{Be}(\text{d}, \text{p}) {}^8\text{He}$	- ۵/۷
${}^9\text{Be}(\text{d}, {}^3\text{He}) {}^7\text{Li}$	- ۱/۰

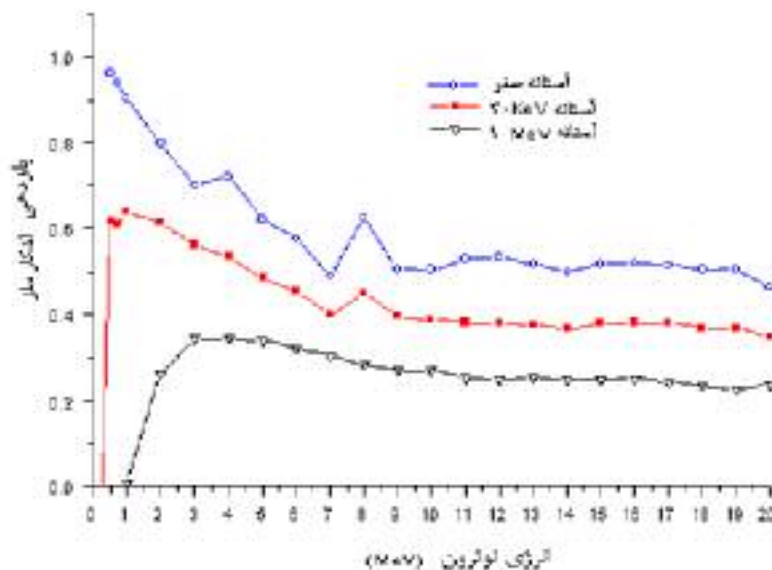
۲. مشخصات ستاب دهنده

در انجام این آزمایش از ستایدهنده سیکلولوترون مرکز تحقیقات کشاورزی و پژوهشی هسته ای (NRCAM)^۱ سازمان انرژی اتمی ایران استفاده شده است. این ستاب دهنده باریکه های پروتون یا دوترون تولید می کند و می تواند پروتون ها را در محدوده ۱۵ تا ۳۰ میلیون الکترون ولت و دوترون ها را در محدوده ۷ تا ۱۵ میلیون الکترون ولت ستاب دهد. حداقل جریان باریکه ذرات برای پروتون ها ۵۰۰ میکرو آمپر و برای دوترون ها ۱۵۰ میکرو آمپر است و قدرت تفکیک انرژی آن ۲٪ می باشد.

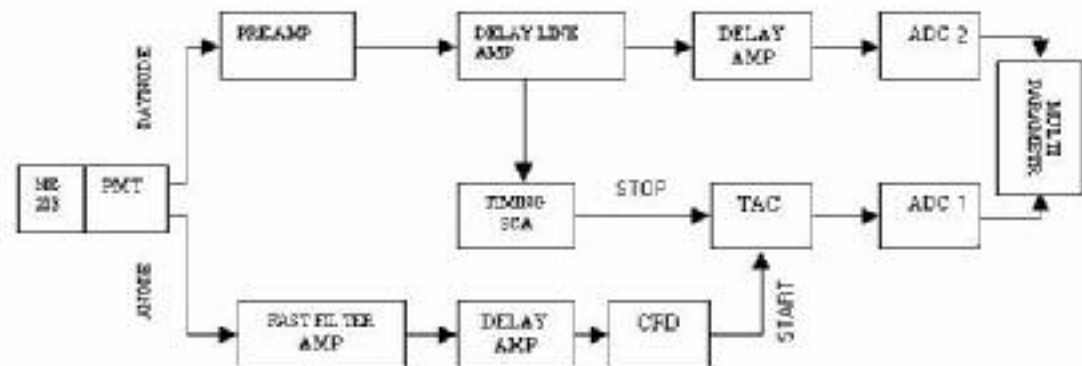
۳. روش آزمایش

برای تولید نوترون های سریع از باریکه دوترون در انرژیهای ۷، ۱۰، ۱۳ و ۱۵ میلیون الکترون ولت استفاده شده است. هدف بریلیومی نازک به ضخامت ۰/۲ میلیمتر و قطر ۲۰ میلیمتر انتخاب شد. برای قرار دادن هدف در انتهای خط انتقال باریکه، یک نگهدارنده آلومینیومی به طریقی طراحی و ساخته شد که هدف بریلیومی به صورت پنجره عمل نماید، و امکان خنک کردن هدف توسط جریان هوا یا آب در آن امکان پذیر باشد. میانگین جریان دوترون ها در هر آزمایش ۱۱۰ پیکو آمپر انتخاب شد. زیرا در جریانهای بیشتر و در فاصله ۳ متری آشکارساز از هدف، آشکار ساز اشباع می شود. افزایش این فاصله به سبب شرایط فضای آزمایشگاه ممکن نبود. چون آزمایش در جریان

1. Nuclear Research Center For Agriculture And Medicine



شکل ۱. منحنی‌های بازده با آستانه صفر، ۴.۴۸۷ keV و ۹.۷۴۵ keV برای آشکارساز استوانه‌ای NE-213 با قطر و ارتفاع ۷۶ میلیمتر که به روش مونت کارلو به دست آمده‌اند.



شکل ۲. مدار زمان گذار از صفر برای جداسازی نوترون از گاما.

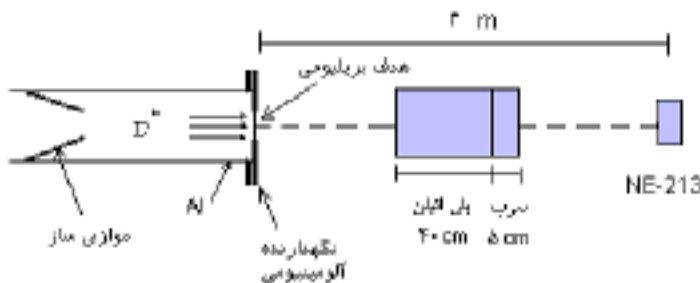
انرژی و هر زاویه، یک بار بدون جاذب و یک بار با جاذب، طیف گرفته می‌شود. طیف نخست طیف پیش زمینه^۱ و دومی طیف پس زمینه^۲ یا طیف زمینه نام گذاری می‌شوند. اگر این دو طیف با اعمال جریان روی هدف و شمارش_۳ با نسبت معین به عنوان ضریب نرمال سازی از هم کم شوند، طیف باقیمانده همان طیف نوترون‌ها و گاماها‌یی است که توسط Be تولید شده

۱- نوترون‌های پراکنده شده از دیوارها، کف و سایر وسایل موجود در محیط که به آشکارساز می‌رسند.

برای اندازه‌گیری تابش زمینه نوترون‌ها، مانند شکل ۳ از یک قطعه مکعب مستطیل پلی اتیلنی که در بین آن ورقه‌های کادمیوم برای جذب نوترون‌ها قرار گرفته است به همراه یک بلوك سربی برای جذب گاماها استفاده می‌شود. این مجموعه جاذب بین هدف و آشکارساز قرار می‌گیرد تا نوترون‌ها و گاماها‌یی که مستقیماً به آشکارساز می‌رسند جذب و تنها نوترون‌ها و گاماهای زمینه اندازه‌گیری شود. در نتیجه برای هر

1. foreground

2. back ground



شکل ۳. جاذب پلی اتیلنی به ضخامت ۵ cm برای حذف اشعه گاما می‌باشد. فاصله بین هدف و آشکارساز ۳ m می‌باشد که جاذب در وسط مسیر قرار می‌گیرد.

ارتفاع تپ (پاسخ آشکارساز $M(E)$) و داشتن ماتریس پاسخ می‌توان به روشهای مختلف معادله (۱) را حل کرده و شار چشمی را به دست آورد. گُرد $FORIST$ [۷] از جمله گُردهایی است که به روش حداقل مربعات شار چشمی را محاسبه می‌کند.

۴. نتایج اندازه گیریها

۴.۱. مشخصات طیف نوترون در چشممه $D+Be$

با توجه به اندازه گیری طیف انرژی نوترون در چشممه $D+Be$ برای انرژیهای مختلف، مشاهده می‌شود طیف این چشممه برای دوترونونهای با انرژی بالاتر از 8 MeV در صفر درجه دارای سه مشخصه زیر می‌باشد [۲، ۱] :

- ۱- یک قله تیز در انرژی 7 MeV / 0^+ که ناشی از واپاشی تراز برانگیخته ^{43}Be / 2^+ در ^{43}MeV به حالت پایه ^{40}Be است. این قله در انرژیهای دو ترون بالاتر از $5/5 \text{ MeV}$ تولید می‌شود.
- ۲- یک دره در انرژی حدود 2 MeV که با تغییر در انرژی دوترونون عمق و محل آن کمی تغییر می‌کند.
- ۳- یک قله پهن با انرژی در حدود 40 \% از انرژی دو ترون فرویدی، که در زاویه‌های بیشتر از صفر ضعیف تر می‌شود. همچنین ای. جی. آلن و همکارانش نشان دادند که توزیع زاویه‌های نوترونونها در برهم کنش دوترونون با هسته‌های مختلف مانند Be , Al , Cu , Mo , Bi ، Al ، Cu ، Bi ، Mo و عناصر دیگر در جهت رو به جلو (نسبت به جریان دوترونونها) یک بیشینه دارد [۷].

۴.۲. طیفهای به دست آمده

برای اطمینان از صحت اندازه گیری و خروجی گُردها، طیف نوترون چشممه Am-Be که یک چشممه شناخته شده است اندازه

و مستقیماً به آشکارساز رسیده اند.

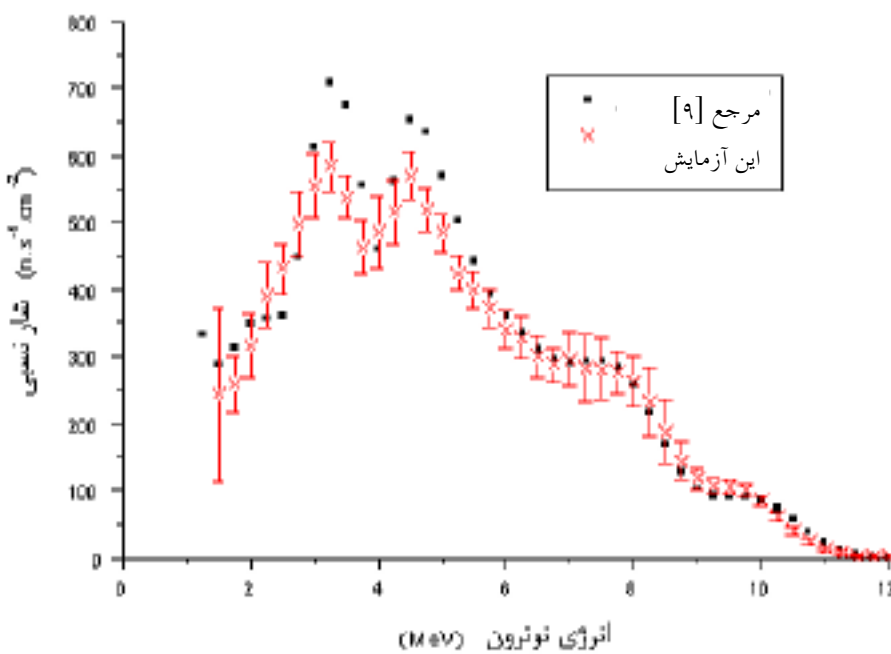
۴.۴. روش بازیافت طیف انرژی نوترون از طیف ارتفاع تپ پروتونهای پس زده می‌دانیم که طیف اندازه گیری شده به وسیله آشکارساز NE-213 طیف انرژی هسته‌های پس زده توسط نوترونها است و باید از روی آن طیف انرژی نوترونها را به دست آورد. برای این کار باید معادله انتگرالی زیر را حل کرد:

$$(1) M(E) = \int_{E'} R(E, E') \Phi(E') dE'$$

که در آن $R(E, E')$ طیف چشممه یا تعداد ذراتی که با انرژی E و $E+dE$ از چشممه گسیل شده اند، $\Phi(E') dE'$ طیف اندازه گیری شده یا تعداد ذراتی که با انرژی E و $E+dE$ اندگاه گیری شده اند و (E, E') تابع پاسخ آشکارساز یا احتمال اینکه ذرهای با انرژی E' از چشممه گسیل شده و با انرژی E و $E+dE$ ثبت شود، هستند. انتگرال فوق را انتگرال پیچش می‌نامند و محاسبه Φ با داشتن $R(E, E')$ و $M(E)$ عمل بازیافت^۱ یا واپیچش می‌نامند [۳].

برای به دست آوردن ماتریس پاسخ آشکارساز ابتدا به وسیله گُرد $O5S$ که به روش مونت کارلو عمل می‌کند [۴] تابع پاسخ آشکارساز را در انرژیهای مختلف به دست می‌آوریم. این گُرد تابع پاسخ آشکارساز را از انرژی $0/2$ تا $20 \text{ میلیون الکترون ولت}$ تولید می‌کند. سپس به وسیله گُرد $RESPMG$ [۵] از روی توابع پاسخ تولید شده در $O5S$ ماتریس پاسخ آشکارساز، $R(E, E')$ را به دست می‌آوریم. با اندازه گیری طیف

1. unfolding



شکل ۴. مقایسه طیف Am-Be به دست آمده در این آزمایش و آزمایش کوهی و همکاران [۹] که هر دو طیف با FORIST بازیافت شده‌اند.

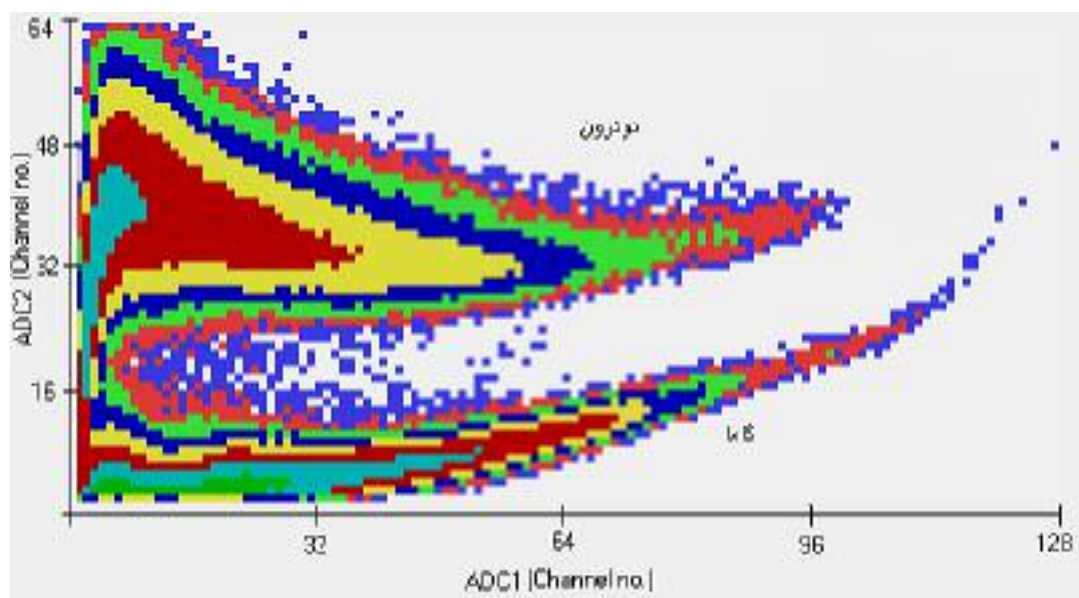
توضیحات ذکر شده در بخش ۱،^۴ برای دو ترون‌های با انرژی‌های بیش از ۸ MeV صادق است، طیف به دست آمده در انرژی ۷ MeV با نتیجه گزارش شده توسط تی.ان.مسی و همکارانش مقایسه شده است. آزمایش تی.ان.مسی و همکارانش در صفر درجه و با هدف ضخیم بریلیومی انجام شده است.^[۸] مشاهده می‌شود مکان دره و قله سازگارند. چون در این اندازه گیری از هدف نازک استفاده شده شار نسبی قدری کمتر به دست می‌آید. به علاوه باید به تفاوت شار در صفر درجه و در ۱۰ درجه توجه داشت.

۵. نتیجه گیری

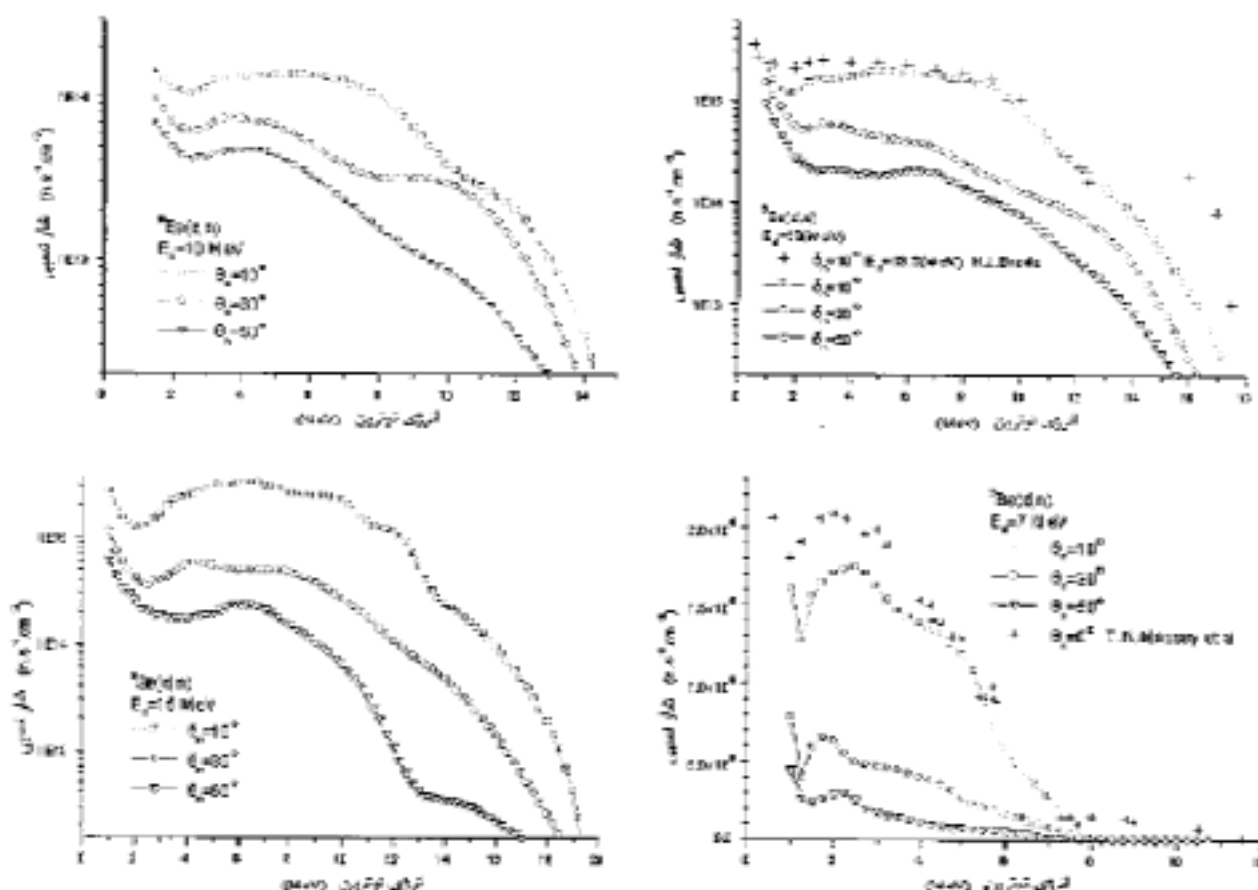
با توجه به نتایج به دست آمده مشاهده می‌شود مشخصات طیفی‌های اندازه گیری شده با نتایج آزمایش‌های دیگران سازگاری خوبی دارند. در صورت فراهم بودن امکان اندازه گیری انرژی با استفاده از روش زمان-پرواز جداسازی نوترون و گاما در انرژی‌های کمتر از ۱ MeV ممکن شده و قله موجود در انرژی ۷/۰ میلیون الکترون ولت نیز قابل مشاهده بود. نتیجه آزمایش نشان می‌دهد که آشکارساز، مقسم ولتاژ ساخته شده و گذرهای بازیافت طیف انرژی نوترون به خوبی عمل می‌کنند. به این ترتیب ابزار موجود امکان مطالعه و اندازه گیری‌های

گیری شد. طیف این چشمی همراه با نتیجه کار کوهی فایق و همکارانش [۹] برای مقایسه در شکل ۴ نشان داده شده است. مشاهده می‌شود به جز نواحی کم انرژی طیفها با هم بسیار سازگارند.

تصویر جدا شده نوترون و گاما برای دو ترون‌های ۱۰ MeV در زاویه ۱۰ درجه در شکل ۵ نشان داده شده است. مشاهده می‌شود در کانالهای کمتر از ۷ که انرژی آن حدود ۰/۹ MeV است جداسازی انجام نگرفته است. طیفهای بازیابی شده نوترون در انرژی‌های ۷، ۱۰، ۱۳ و ۱۵ میلیون الکترون ولت باریکه دو ترون، در زاویه‌های مختلف در شکل ۶ نشان داده شده اند. طیفی که اچ.جی.برد و همکارانش [۱] در انرژی ۱۲/۳ MeV، در زاویه ۱۰ درجه و با هدف ضخیم بریلیومی گزارش کرده‌اند برای مقایسه آورده شده است. مشاهده می‌شود که مکان دره تقریباً در انرژی ۲ MeV و قله پهن در ۴۰٪ انرژی دو ترون است، ولی چون از روش زمان-پرواز استفاده نشده، در انرژی‌های کمتر از ۱ MeV طیف نوترون از گاما در آشکارساز جدا نشده و قله تیز موجود در انرژی ۷ MeV به دست نیامده است. مشاهده اندکی اختلاف در طیف به دست آمده توسط اچ.جی.برد و همکارانش [۱] و این آزمایش، ناشی از استفاده از هدفهای با ضخامت متفاوت است. از آنجا که



شکل ۵. طیف جداسازی شده نوترون و گاما در برهم‌کنش $D + {}^9\text{Be}$ با دوترون‌های ۱۰ MeV در زاویه ۱۰ درجه.



شکل ۶. طیف انرژی نوترون‌های تولید شده در بمباران هدف نازک بریلیومی به ضخامت ۰/۲ mm با دوترون‌های شتاب داده شده در انرژیهای ۱۰، ۱۳، ۱۵ و ۱۶ میلیون الکترون ولت و در زاویه‌های ۱۰، ۳۰، ۵۰ و ۷۰ درجه.

قدرتانی

در پایان از زحمات و راهنماییهای کارشناسان مرکز تحقیقات کشاورزی و پژوهشکی هسته‌ای کرج به ویژه بخش سیکلotron و پژوهشکده فیزیک دانشگاه امام حسین (ع) صمیمانه تشکر می‌کنیم.

نوترونی حاصل از پرتابه دوترون و پروتون با هدفهای مختلف را در سیکلotron و سایر شتاب دهنده‌های موجود در کشور فراهم می‌کنند.

مراجع

9. R Koohi Fayegh, S Green and M Scott, *Nuclear Instruments and Methods in Physics Research A*, **460** (2001) pp. 391-400.
10. S Green, R Koohi-Fayegh and M C Scott, *Nuclear Instruments and Methods in Physics Research A*, **431** (1999) pp. 380-382.
11. R Koohi Fayegh, "Neutron spectrum measurements in a beryllium lithium flouride assembly using an NE-213 scintillator", Ph. D. Thesis, Birmingham University (1980).
12. س ز شورشینی "اندازه‌گیری سطح مقطع کلی عنصر گرافیت، آلمینیوم، آهن، مس و سرب در انرژی حدود 15MeV به روش نوترون زمان پرواژی و مقایسه با محاسبات مدل اپتیکی" پایان نامه کارشناسی ارشد فیزیک، دانشکده فیزیک، دانشگاه صنعتی شریف (۱۳۷۰).
1. H J Brede, G Dietz, K Kudo and D Schlegel Bick Mann, *Radiation Effects* **94** (1986) pp. 129-132.
2. M A Lone and A J Ferguson, *Nuclear Instruments and Methods* **189** (1981) pp. 515-523.
3. G F Knoll, "Rasiation Detection and Measurement", Printed by John Wiley& Sons (2000).
4. R E Textor and V V Verbinski, O5S A Monte-Carlo Code for Calculation Pulse Hight Distributions due to Mono Energetic Neutrons incident on Organic Scintillators, Oak Ridge National Lab. ORNL-4160 (1968).
5. W R Burrus et. al., "RESPMG, A Response Matrix Generator Code Package", ORNL-TM-2594(Nov. 1969).
6. R H Johnson, "A User's Manual for COOLC and FORIST", PNE75-107 (1975).
7. A J Allen and J F Nechaj, *Phys. Rev.* **81** (1951) 536.
8. T N Massey, T W Covell, S I Al-Quraishi, D K Jacobs, C E Beient, S M Grimes, W B Howard, J Yanch, D L Smith and B J Micklich, *Fusion Engineering and Design* (1997) 57-63.